

耦合玻色-爱因斯坦凝聚系统中的混沌动力学

李飞, 陈纯

(湖南科技大学 物理系, 湖南 湘潭 411201)

摘要: 研究了处在双势阱中的耦合玻色-爱因斯坦凝聚系统的混沌动力学特性。通过理论分析, 探讨了原子数差的 Melnikov 混沌振荡。当系统处于非混沌区域时, 数值计算表明, 随着调制频率的减小, 系统由多周期状态进入混沌状态; 系统在某些时段出现混沌宏观量子自囚禁。

关键词: 玻色-爱因斯坦凝聚 (BEC); Gross-Pitaevskii 方程 (GPE); Melnikov 混沌判据; 混沌

中图分类号: O431.2

文献标志码: A

文章编号: 1673-9833(2009)05-0014-04

Chaotic Dynamics of Coupled Bose-Einstein Condensates System

Li Fei, Chen Chun

(Department of Physics, Hunan University of Science and Technology, Xiangtan Hunan 411201, China)

Abstract: Studies the chaotic dynamics of coupled Bose-Einstein condensates system in a double-well potential. Investigates the Melnikov chaotic oscillation of the atomic number difference through theoretical analysis. When the system is within non-chaotic zone, numerical calculations reveal that it enters chaos state from multi-cycle state with the decrease of modulation frequency and in certain periods of time it appears chaotic macroscopic quantum self-confinement.

Keywords: Bose-Einstein condensates; Gross-Pitaevskii equation(GPE); Melnikov chaotic criterion; chaos

0 引言

随着实验技术的发展, 激光冷却与囚禁为玻色-爱因斯坦凝聚 (BEC) 的实验研究提供了有利条件。美国科罗拉多大学实验天体物理联合研究所 (JILA) 和国家标准技术研究所 (NIST) 的 Wieman 小组于 1995 年 7 月首先报道了在实验上观察到的 ^{87}Rb 原子的玻色-爱因斯坦凝聚现象; 同年 8 月, 美国莱斯大学的 Bradley 小组报道了 ^7Li 原子的玻色-爱因斯坦凝聚的观察结果; 11 月, 麻省理工学院的 Davis 等人又报道了 ^{23}Na 原子的玻色-爱因斯坦凝聚的实验结果^[1]。

玻色-爱因斯坦凝聚形成后, 可用薄片状的强激光场将其一分为二, 在它们之间形成 1 个势垒, 使 2 个 BEC 分别处于势垒两侧的势阱中, 双势阱 BEC 模型是基本的物理模型, 人们可以用它来研究 BEC 原子的量

子隧穿和量子相干等特性。目前, 双势阱 BEC 系统的动力学特性是物理界研究的热点课题, 本文主要讨论双势阱耦合 BEC 系统的混沌动力学演化特性。

1 双势阱中的耦合 BEC 系统

在绝对零度附近, 处在势阱 $V_{ii}(r)$ 中且具有相互作用的 BEC 的波函数 $\Psi(x,t)$ 满足平均场 Gross-Pitaevskii 方程 (GPE)^[1]:

$$i\hbar \frac{\partial \Psi}{\partial t} = -\frac{\hbar^2}{2m} \nabla^2 \Psi + V_r \Psi + g |\Psi|^2 \Psi, \quad (1)$$

式中: m 为原子质量;

$g = 4\pi a_s \hbar^2 / m$ 是描述凝聚体玻色子之间相互作用的非线性参数, a_s 为原子的 s 波散射长度, $a_s > 0$ 表示凝聚体粒子间相互排斥, 反之则表示相互吸引。

收稿日期: 2009-08-18

基金项目: 湖南省教育厅科研基金资助项目 (08C344), 湖南科技大学博士科研启动基金资助项目 (E50817)

作者简介: 李飞 (1975-), 男, 湖南江华人, 湖南科技大学教师, 博士, 主要从事非线性和混沌方面的教学与研究,

E-mail: wiself@163.com

选择式 (1) 的 2 模近似解形式如下^[5-7]:

$$\Psi(x, t) = \psi_1(t)\phi_1(x) + \psi_2(t)\phi_2(x), \quad (2)$$

式中: $\psi_1(t) = \sqrt{N_1(t)}e^{i\theta_1(t)}$ 和 $\psi_2(t) = \sqrt{N_2(t)}e^{i\theta_2(t)}$ 是只与时间有关的复振幅;

$N_1(t) = |\psi_1(t)|^2$ 和 $N_2(t) = |\psi_2(t)|^2$ 分别为不同势阱中的粒子数;

$\theta_1(t)$ 和 $\theta_2(t)$ 分别为势阱 1 和势阱 2 中 BEC 波函数的相位;

$\phi_1(x)$ 和 $\phi_2(x)$ 分别为势阱 1 和势阱 2 中随空间变化的波函数。

将式 (2) 代入式 (1) 并对空间坐标积分, 得到 ψ_1 和 ψ_2 满足的方程如下:

$$i\hbar \frac{\partial}{\partial t} \begin{pmatrix} \psi_1 \\ \psi_2 \end{pmatrix} = H(t) \begin{pmatrix} \psi_1 \\ \psi_2 \end{pmatrix}, \quad (3)$$

式中: $H(t)$ 是系统的哈密顿量 (Hamiltonian), 且

$$H(t) = \begin{pmatrix} E_1 + \alpha_1 |\psi_1(t)|^2 & -K \\ -K & E_2 + \alpha_2 |\psi_2(t)|^2 \end{pmatrix}, \quad (4)$$

式中: α_1 和 α_2 描述势阱 1、2 中的单个粒子在平均场近似下的自相互作用能, 且 $\alpha_i(t) = g \int d\mathbf{r} |\phi_i(x)|^2$;

K 表征两凝聚体之间的原子隧穿行为, 且

$$K = - \int d\mathbf{r} [\hbar^2 (\nabla \phi_1 \nabla \phi_2) / (2m) - \phi_1 V_a \phi_2];$$

E_1 和 E_2 分别为不同势阱中的零点能, 且

$$E_i = \int d\mathbf{r} [\hbar^2 |\nabla \phi_i(x)|^2 / (2m) + \phi_i(x)^2 V_a].$$

显然, 总粒子数为 $N = N_1 + N_2$, 研究中主要关心的是 2 个 BEC 之间粒子数差的变化, 为此, 引入 2 个新变量 $z(t) = N_1(t) - N_2(t) / N$ 和 $\Phi(t) = \theta_1(t) - \theta_2(t)$,

式中: $z(t)$ 表示双势阱中 2 个 BEC 之间粒子数之差占总粒子数的比值;

$\Phi(t)$ 表示耦合 BEC 之间的相对相位差。

于是得到如下 2 个微分方程:

$$\dot{z} = -2\sqrt{1-z^2} \sin \Phi - \eta z, \quad (5)$$

$$\dot{\Phi} = \Delta E + A z + \frac{2z}{\sqrt{1-z^2}} \cos \Phi, \quad (6)$$

式 (6) 中: $\Delta E = [E_1 - E_2 + (\alpha_1 - \alpha_2) / 2] / K$ 为势阱 1 和 2 的基态能量差与其相互作用能的比率;

$A = (\alpha_1 - \alpha_2) / (2K)$ 表示势阱 1 和 2 的相互作用强度参量。

在式 (5)、(6) 中已把时间 t 化成了无量纲变量 Kt / \hbar , $-\eta z$ 为阻尼。本文中考虑参数 A 为常数, 而 ΔE 含时的情况。由以上分析, 可得系统的哈密顿量为

$$H = \frac{A z^2}{2} + A E z - 2\sqrt{1-z^2} \cos \Phi,$$

将 $z(t)$ 对时间 t 二次微分, 有:

$$\ddot{z} = -4z - \left(\frac{A}{2} z^2 + \Delta E z - H \right) (\Delta E + A z) - \eta \dot{z}. \quad (7)$$

2 系统的微扰解

实验时可通过移动激光位置、调节激光场的强度或施加含时外势项 V_a 来调节双势阱, 此时 E_i 是随时间周期变化的, ΔE 可表示为 $\Delta E = \Delta E_0 + \Delta E_1 \sin(\omega t)$, ΔE_0 表示直流部分的幅值, ΔE_1 为交流部分的幅值, 二者均为小量。那么将 H 对时间 t 求导可得:

$$\dot{H}(t) = \frac{\partial H}{\partial z} \dot{z} + \frac{\partial H}{\partial \Phi} \dot{\Phi} + \frac{\partial H}{\partial t} = \frac{\partial H}{\partial t} = \frac{z^2}{2} \frac{\partial A}{\partial t} + \frac{\partial \Delta E}{\partial t} z = z \omega \Delta E_1 \cos(\omega t), \quad (8)$$

将式 (8) 对时间积分, 有:

$$H(t) = H_0 + H_1(t), \quad (9)$$

$$H_1(t) = \int z \omega \Delta E_1 \cos(\omega t) dt, \quad (10)$$

式 (9) 中: H_0 为常数; $H_1(t)$ 与 ΔE 是同阶小量。

将式 (8) ~ (10) 代入式 (7), 得:

$$\ddot{z} - (A H_0 - 4)z + \frac{A^2}{2} z^3 = A H_1 z - \frac{3 \Delta E A}{2} z^2 - \Delta E^2 z + H \Delta E - \eta \dot{z}, \quad (11)$$

直接求系统的解析解比较困难。笔者注意到, 对于弱耦合情形, $\Delta E_{1,2}$ 的值非常小, 可运用直接微扰法来分析。将式 (11) 的一般解展开至一阶, 即:

$$z = z_0 + z_1 \quad (|z_0| \gg |z_1|), \quad (12)$$

将式 (12) 代入式 (11), 可得:

$$\ddot{z}_0 - (H_0 A - 4)z_0 + \frac{1}{2} A^2 z_0^3 = 0, \quad (13)$$

$$\ddot{z}_1 - (H_1 A - 4)z_1 + \frac{3}{2} A^2 z_0^2 z_1 = \varepsilon_1, \quad (14)$$

式中: $\varepsilon_1 = A H_1 z_0 - \frac{3}{2} A \Delta E z_0^2 + H_0 \Delta E - \eta \dot{z}_0$ 。

根据前面的假设可知: $|z_1| \sim |\Delta E_{1,2}| \sim |\eta| \ll |H_1|$ 。当 $H_0 A - 4 > 0$ 时, 式 (13) 有同宿解

$$z_0 = \left(2\sqrt{H_0 A - 4} \operatorname{sech} \xi \right) / A, \quad \text{式中 } \xi = (t - t_0) \sqrt{H_0 A - 4}, t_0$$

是系统的初始时间。根据文献[2-8], 可得 $t_0 = 0$ 时式 (14) 的 2 个线性无关解:

$$f_1 = \frac{dz_0}{dt} = -\frac{2}{A} (H_0 A - 4) \operatorname{sech} \xi \tanh \xi, \quad (15)$$

$$f_2 = f_1 \int (f_1)^{-2} dt = \frac{A}{4\sqrt{(H_0 A - 4)^3}} \operatorname{sech} \xi (2 - 3\xi \tanh \xi - \sinh^2 \xi), \quad (16)$$

由于式 (16) 中含有双曲正弦函数, f_2 将随着时间 t 成指数增长, 所以 f_2 是无界的。利用式 (15) 和 (16) 可构造式 (14) 的通解如下^[2-8]:

$$z_1 = f_2 \int_{t_0}^t f_1 \varepsilon_1 dt - f_1 \int_{t_0}^t f_2 \varepsilon_1 dt, \quad (17)$$

这里 C_1 、 C_2 是由初始条件决定的 2 个任意常数，将变量 C_1 、式 (15)、(16) 代入式 (17) 并计算 $t \rightarrow \infty$ 时的极限，则发现 $\lim_{t \rightarrow \pm\infty} z_1 \rightarrow \pm\infty$ ，这表明式 (17) 的通解是

Lyapunov 不稳定的。如果条件 $G_1 = \lim_{t \rightarrow \pm\infty} \int_{C_1} f_1 C_1 dt = 0$ 得到满足，则这种不稳定性能被控制，即式 (17) 的解是 Lyapunov 稳定的。研究证明当 $C_+ - C_- = 0$ 时能消去常数 C_1 ，于是得到系统的 Melnikov 函数^[2-8]

$$M(t_0) = \int_{-\infty}^{\infty} f_1 C_1 dt = 0. \quad (18)$$

众所周知，Melnikov 函数正比于 Poincare 截面中稳定与非稳定流形之间的距离。如果 Melnikov 函数具有简单零点 (Simple zeros)，则稳定与非稳定流形将发生横截相交，此时 BEC 原子隧穿过程将出现混沌。

3 非微扰数值模拟

当 BEC 系统不满足微扰条件时，直接微扰法将不再适用于系统，此时可通过数值计算模拟 BEC 系统的动力学行为。为了不受暂态过程影响，笔者忽略了 $0 < t < 500$ s 时间段的动力学过程。首先，通过设定参数 $\Delta E_0 = 1.0$ ， $\Delta E_1 = 1.0$ ， $A = 30$ ， $\eta = 0.001$ ， $\omega = 19.9$ ，笔者画出了 BEC 系统在不同参数下的 (z, \dot{z}) 平面相图 (见图 1) 和相应的 z 随时间的演化曲线 (见图 2)。

从图 1、2 可看出，当 $\Delta E_0 = 1.0$ ， $\Delta E_1 = 1.0$ ， $A = 30$ ， $\eta = 0.001$ ， $\omega = 19.9$ 时，相图和 z 的时间演化曲线都表明系统处于多周期状态，而且是处于宏观量子自囚禁状态 (MQST)。

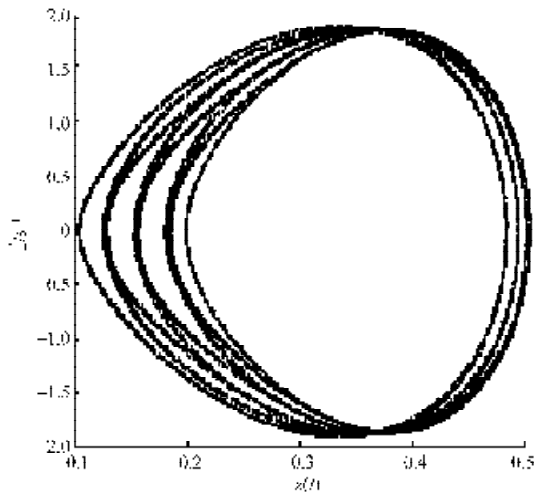


图 1 系统 (z, \dot{z}) 平面相图

Fig. 1 Phase diagram for system (z, \dot{z}) plane

保持其它参数不变，当 $\omega = 14.5$ 时，笔者发现双势阱 BEC 系统出现了典型的混沌吸引子，见图 3；而对应的随时间的变化曲线 (图 4) 则显示，在时间处于 $[500, 540]$ 之间时，系统处于宏观量子自囚禁状态，图

3、4 说明原子隧穿过程是混沌的。

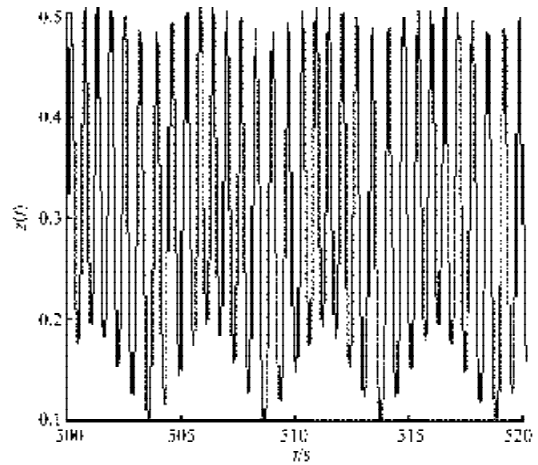


图 2 z 的时间演化曲线

Fig. 2 Time-evolution of z

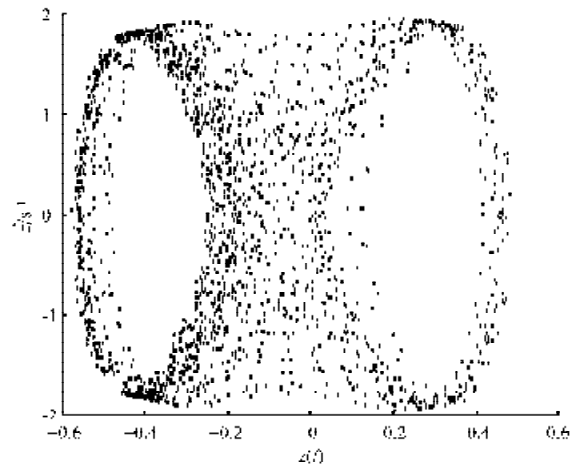


图 3 系统 (z, \dot{z}) 平面相图

Fig. 3 Phase diagram for system (z, \dot{z}) plane

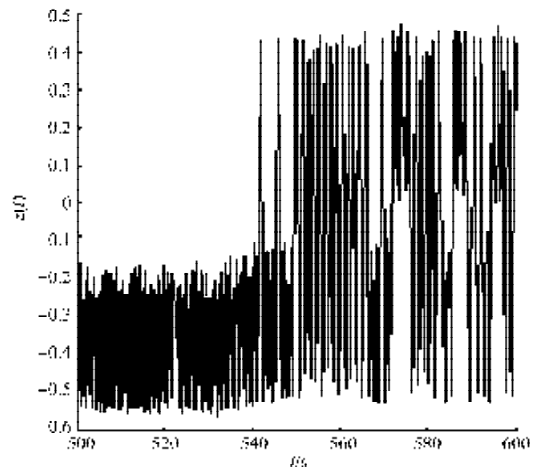


图 4 z 的时间演化曲线

Fig. 4 Time-evolution of z

当进一步减小频率 ω 至 12 时，从图 5 可看出，系统相图上的混沌区域扩大了，这表明 BEC 粒子隧穿运动更加无序，对应的 z 随时间的演化曲线亦表明系统混沌程度加深了，见图 6。

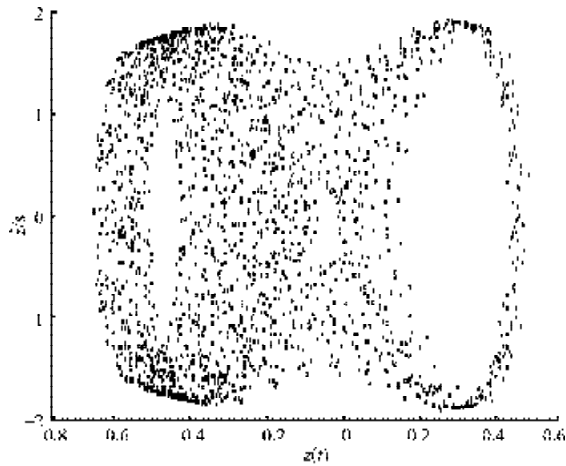


图 5 系统在 (z, \dot{z}) 平面相图

Fig. 5 Phase diagram for system (z, \dot{z}) plane

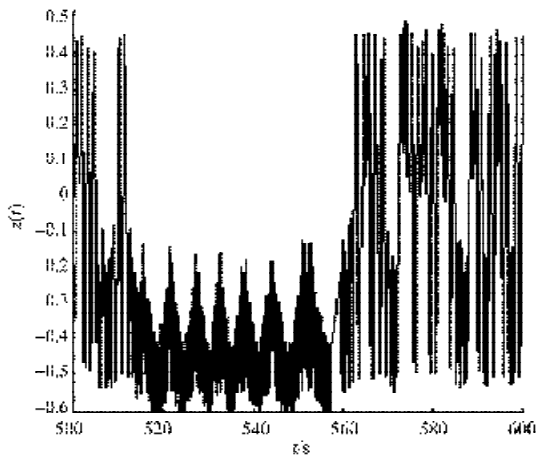


图 6 z 的时间演化曲线

Fig. 6 Time-evolution of z

4 结语

本文讨论了耦合玻色-爱因斯坦凝聚系统中的混沌动力学特性。运用直接微扰法构造了系统的微扰通解, 分析表明该通解的有界性条件包含了 Melnikov 混沌判据。当系统处于非微扰区域时, 数值计算表明, 通过调节相关参数能够导致系统从多周期状态进入混沌。研究发现, 参数的变化及势阱的非对称性均能导

致 BEC 系统的宏观量子自囚禁。在实验中可以通过调节外加激光的强度及位置等来调控双势阱, 或通过 Feshbach 共振来改变参数 A 的值, 从而实现对系统参数的调制, 进而控制系统的动力学行为。

参考文献:

- [1] Dalfvo F, Giorgini S, Pitaevskii L, et al. Theory of Bose-Einstein Condensation in Trapped Gases[J]. Rev. Mod. Phys., 1999, 71: 463-512.
- [2] Hai W, Lee C, Chong G, et al. Chaotic Probability Density in Two Periodically Driven and Weakly Coupled Bose-Einstein Condensates[J]. Phys. Rev. E, 2002, 66: 026202-026208.
- [3] Fang J, Hai W, Chong G, et al. Chaotic Josephson Effects in Two-Coupled Bose-Einstein Condensates[J]. Physica A, 2005, 349: 133-142.
- [4] Li F, Hai W, Ren Z, et al. Chaotic Phase Oscillation of a Proton Beam in a Synchrotron[J]. Phys. Lett. A, 2006, 355: 104-109.
- [5] Li F, Shu W, Jiang J, et al. Spatiotemporal Dynamics of Bose-Einstein Condensates in Moving Optical Lattices[J]. Eur. Phys. J. D, 2007, 41: 355-361.
- [6] Li F, Zhou B, Shu W, et al. Chaotic Dynamics of a Parametrically Modulated Josephson Junction with Quadratic Damping[J]. Eur. Phys. J. D, 2008, 50: 75-80.
- [7] Hai W, Rong S, Zhu Q. Discrete Chaotic States of a Bose-Einstein Condensate[J]. Phys. Rev. E, 2008, 78: 066214-066220.
- [8] Zhu Q, Hai W, Rong S. Transition Probability from Matter-Wave Soliton to Chaos[J]. Phys. Rev. E, 2009, 80: 016203-016208.
- [9] 方见树. 一维斜光格子势阱中囚禁 Bose-Einstein 凝聚体的混沌行为[J]. 株洲工学院学报, 2005, 19(6): 1-5. Fang Jianshu. Chaotic Behavior of Trapped Bose-Einstein Condensates in One-Dimensional Tilted Optical Lattice Potential[J]. Journal of Zhuzhou Institute of Technology, 2005, 19(6): 1-5.

(责任编辑: 李玉珍)